

Министерство высшего и среднего специального образования
РСФСР

Ордена Трудового Красного Знамени
Научно-исследовательский радиофизический институт (НИРФИ)

Препринт № 82

К ТЕОРИИ ЗОНДОВОГО МЕТОДА ИЗМЕРЕНИЯ
ДИАГРАММ НАПРАВЛЕННОСТИ АНТЕНН

В.И.Турчин

Горький - 1976 г.

В связи со значительными техническими трудностями, возникающими при измерении диаграмм направленности антенн СВЧ-диапазона прямыми методами, т.е. с использованием источников, расположенных в дальней зоне исследуемой антенны, в последнее время интенсивно развиваются методы определения диаграмм направленности, использующие источники, расположенные вблизи антенны [1]. Один из таких методов – зондовый метод – заключается в том, что с помощью небольшой перемещаемой антенны – зонда – измеряется пространственное распределение амплитуды и фазы ближнего поля исследуемой антенны на плоскости вблизи ее раскрыва⁺, а диаграмма направленности находится как преобразование Фурье измеренного пространственного распределения ближнего поля [1–4].

В данной работе рассматриваются некоторые теоретические вопросы этого метода, а именно: связь между размерами области, внутри которой измеряется ближнее поле (поскольку практически невозможно выполнить измерения на всей бесконечной плоскости) и сектором углов, в котором диаграмма направленности определяется с малой ошибкой, а также влияние величины интервала между пространственными выборками при дискретной регистрации ближнего поля на конечный результат – восстановленную диаграмму направленности.

1. Общие соотношения

Задача определения диаграммы направленности зондовым методом может быть сформулирована следующим образом: требуется определить угловое распределение поля

⁺) Будем называть в дальнейшем эту плоскость плоскостью сканирования.

в дальней зоне (диаграмму направленности) $\hat{f}(\xi, \eta)$, удовлетворяющее уравнениям Максвелла и граничным условиям — пространственному распределению компонент вектора электрического поля $\bar{E}^{(s)}(x, y)$ в плоскости сканирования S (будем считать, что плоскость сканирования определяется уравнением $z = 0$ в декартовой системе координат (x, y, z)).

Диаграмму направленности $\hat{f}(\xi, \eta)$, как это обычно принято, определим как распределение вектора электрического поля $\bar{E}(x, y, z)$ на сфере бесконечно большого радиуса.

$$\hat{f}(\xi, \eta) = \lim_{R \rightarrow \infty} [k R e^{ikR} \bar{E}(R\xi, R\eta, Rz)], \quad (1)$$

где $k = \frac{2\pi}{\lambda}$ (λ — длина волны)

$x = R\xi = R \sin \theta \cos \varphi$, $y = R\eta = R \sin \theta \sin \varphi$, $z = Rz = R \cos \theta$; $\xi = \sqrt{1 - \xi^2 - \eta^2}$
 θ, φ — угломестная и азимутальная угловые координаты.

Поставленная таким образом задача определения диаграммы направленности имеет единственное решение [5], определяемое соотношениями, хорошо известными в антенной технике (см., например [6])

$$\hat{f}_x(\xi, \eta) = C_0 \xi S_x(\xi, \eta), \quad \hat{f}_y(\xi, \eta) = C_0 \eta S_y(\xi, \eta) \quad (2)$$

$$\hat{f}_z(\xi, \eta) = -C_0 [\xi S_x(\xi, \eta) + \eta S_y(\xi, \eta)], \quad C_0 = -\frac{i}{\lambda}.$$

Здесь $S_{x,y}(\xi, \eta)$ — Фурье-спектры x, y — компонент пространственного распределения вектора электрического поля $\bar{E}^{(s)}(x, y)$ в плоскости S

$$S_{x,y}(\xi, \eta) = \iint_{-\infty}^{\infty} E_{x,y}^{(s)}(x, y) e^{ik(\xi x + \eta y)} dx dy. \quad (3)$$

Соотношения (2) легко могут быть получены из точного выражения [5] связывающего поле $\bar{E}^{(s)}(x, y)$ на плоскости S и поле $\bar{E}(x, y, z)$ в произвольной точке в переднем полупространстве $z > 0$.

$$\vec{E}(x, y, z) = \text{rot} \int\limits_{-\infty}^{\infty} [\vec{z}_0 \vec{E}^{(s)}(x', y')] g dx' dy', \quad (4)$$

где \vec{z}_0 — единичный вектор вдоль оси z , g — функция Грина свободного пространства: $g(z) = \exp(i k z) / 4\pi z$ (z — расстояние от точки на плоскости (x', y') до точки наблюдения (x, y, z)). Внося оператор rot под знак интеграла и выполняя предельный переход (1) (при выполнении предельного перехода мы должны ограничить область интегрирования в (4) сколь угодно большой, но конечной областью, полагая, что при расширении этой области (4) равномерно сходится к $\vec{E}(x, y, z)$), приходим к выражению (2).

Следует отметить, что соотношения (2) справедливы с точностью до множителя $\epsilon : p [i(A\xi + B\eta + C\zeta)]$ (A, B, C — произвольные постоянные величины), поскольку система координат (x, y, z) связана только с плоскостью сканирования, а не с исследуемой антенной¹⁾, так что переместив параллельным сдвигом начало координат в точку (x_1, y_1, z_1) мы получим, что спектр S' относительно новой системы координат связан со спектром S соотношением²⁾

$$S'(\xi, \eta) = S(\xi, \eta) \exp[i k (\xi x_1 + \eta y_1 + \zeta z_1)].$$

П. Связь между размером области, в которой измеряется ближнее поле, и сектором углов, в котором диаграмма направленности определяется с минимальной ошибкой

Будем считать, что исследуемая антenna представляет собой объемное распределение электрического тока $J(x, y, z)$ — целиком заключенное внутри объема V_A с размерами $D_x \times D_y \times D_z$ (внешнего этого объема ток во всем пространстве равен нулю). Такое представление является достаточным¹⁾.

В соотношении (2) не входит расстояние от плоскости S до исследуемой антенны.

По-видимому, подбирая коэффициенты A, B, C так, чтобы функция $A\xi + B\eta + C\zeta$ наилучшим образом аппроксимировала ход фазовой диаграммы $\arg S'(\xi, \eta)$, можно локализовать положение фазового центра исследуемой антенны относительно плоскости сканирования, однако этот вопрос выходит за рамки данной работы.

точно общим и справедливо для большинства антенн (рупорные, вибраторные, щелевые, зеркальные и т.д.). Для таких антенн спектр распределения поля на плоскости, отстоящей на расстоянии z от центра области V_A можно представить в виде

$$\tilde{S}(\xi, \eta) = \iiint_{V_A} \hat{U}_0 \tilde{j}(x', y', z') dx' dy' dz', \quad (5)$$

где тензор \hat{U}_0 есть

$$U_{0ij} = \frac{k^2}{\xi_3} (\xi_i \xi_j - \delta_{ij}) e^{ik[(z'-z)\xi_3 + y'\xi_2 + x'\xi_1]} \quad (6)$$

δ_{ij} — символ Кронекера.

Для сокращения записи выражения (6) для угловых координат (ξ, η, ζ) использованы обозначения (ξ_1, ξ_2, ξ_3) :

$$\xi_1 = \xi, \quad \xi_2 = \eta, \quad \xi_3 = \zeta.$$

Пусть далее спектр поля ищется по распределению поля $\tilde{E}^{(s)}(x, y)$ внутри конечной области Ω_s (область сканирования ближнего поля) на плоскости S с размерами $D_x \times D_y$.

$$\tilde{S}_{x,y}^s(\xi, \eta) = \iint_{\Omega_s} \tilde{E}_{x,y}^{(s)}(x, y) e^{ik(\xi x + \eta y)} dx dy.$$

Задача заключается в том, чтобы выбрать размеры этой области так, чтобы спектр $\tilde{S}_{x,y}^s(\xi, \eta)$ с достаточной точностью совпадал с "истинным" спектром $\tilde{S}(\xi, \eta)$ в интересующей нас области изменения ξ, η . Выразим спектр $\tilde{S}^s(\xi, \eta)$ через распределение тока $j(x, y, z)$

$$\tilde{S}^s(\xi, \eta) = \iiint_{V_A} \hat{U} \tilde{j}(x', y', z') dx' dy' dz', \quad (7)$$

+) Как обычно, в качестве оценки спектра функции, известной внутри области Ω_s , мы принимаем спектр функции, совпадающей внутри области Ω_s с известной, и равной нулю всюду вне этой области.

где

$$\hat{v}(\xi, \zeta, x', y', z' - z) = \iint_{\Omega_i} \frac{\hat{b}(x' - x, y' - y, z' - z)}{z} e^{ik[z - \xi(x') - \zeta(y')]} dx dy \quad (8)$$

$$\hat{b}_{ij} = \left(k^2 + \frac{ik}{2} - \frac{1}{z^2} \right) \delta_{ij} - \frac{(x_i - x'_i)(x_j - x'_j)}{z^2} \left(k^2 + \frac{3ik}{2} - \frac{3}{z^2} \right)$$

$z = \left[\sum_{i=1}^3 (x_i - x'_i)^2 \right]^{1/2}$. Для сокращения записи (8) для координат (x, y, z) использованы обозначения (x_1, x_2, x_3) : $x_1 = x$, $y_1 = y$, $z_1 = z$. Очевидно, для совпадения \hat{s}^B с \hat{s} достаточно совпадения тензора \hat{v} с \hat{v}_0 . Рассмотрим более подробно выражение для \hat{v} (8). Будем полагать, что параметр k , входящий в качестве множителя в фазу подинтегрального выражения, велик (т.е. длина волны мала по сравнению с размерами области Ω_i). Тогда (8) можно представить в виде асимптотического разложения по степеням $k^{-1/2}$, используя метод стационарной фазы [7]. Точка стационарной фазы (x_c, y_c) в (8) определяется следующим выражением

$$x_c = x' + (z - z') \frac{\xi}{k} \quad (9)$$

$$y_c = y' + (z - z') \frac{\zeta}{k}$$

и разложение \hat{v} принимает вид

$$\hat{v} = \hat{v}_0 \left[1 + O\left(\frac{1}{\sqrt{k}}\right) \right]. \quad (10)$$

Соотношение (10), естественно, будет справедливо лишь в том случае, если точка стационарной фазы (8) принадлежит области интегрирования Ω_i . В противном случае первый член асимптотического разложения будет определяться интегралом по контуру области Ω_i [7] *), и будет иметь другой вид, чем \hat{v}_0 . Таким образом, условием близости \hat{v} к \hat{v}_0 (с точностью порядка $k^{-1/2}$), а, следовательно, и условием близости спектра \hat{s}^B , полученного по значениям ближнего поля в области Ω_i к "истинному" спектру \hat{s} (с той же степенью точности) является требование, чтобы *). Иметь тот же порядок величины, что и второй член разложения (10).

$$x_c, y_c \in \Omega_A \quad \text{при } x', y' \in V_A \quad ; \quad (11)$$

где x_c, y_c определяются на основании (9).

Поскольку первый член асимптотического разложения (10) определяется интегралом по некоторой окрестности точки стационарной фазы x_c, y_c [8], условие (11) необходимо усилить, требуя, чтобы точка стационарной фазы приближалась к границе области Ω_A не более, чем на размер окрестности Δz , дающей основной вклад в первый член разложения (10). Величину Δz определим из условия чтобы фаза Φ в подинтегральном выражении (8) всюду на границе рассматриваемой окрестности — круга радиуса Δz — менялась на величину порядка $\pi/6$ по сравнению со своим значением в точке стационарной фазы [8]. Выражая значение фазы Φ на границе окрестности через вторые производные Φ'' в точке стационарной фазы, получим:

$$\Delta z \approx \gamma \left[\frac{(z - z') \lambda}{\cos^3(\theta)} \right]^{1/2}, \quad (12)$$

где $\gamma \approx \sqrt{n\mu}$, $n \approx 1$.

Полагая $D_x^A = D_z^A = D^A$; $D_y^H = D_z^H = D^H$ и вводя величину θ_B — размер углового сектора, внутри которого спектр поля (а, следовательно, и диаграмма направленности) будет восстанавливаться с малой ошибкой, соотношения (11), (12) можно представить с учетом (9) в виде, более удобном для практического использования

$$D^H = D^A + 2 \left(z + \frac{D_z^A}{2} \right) \operatorname{tg} \left(\frac{\theta_B}{2} \right) + \gamma \left[\frac{(z + D_z^A/2) \lambda}{\cos^3(\theta_B/2)} \right]^{1/2}. \quad (13)$$

Из выражения (13) следует, что при выборе размера области сканирования D^H следует учитывать не только протяженность, но и "глубину" антенны (например, в случае зеркальной антенны γ величину видимо, следует принять $D_z^A = (D^A)^2 / 16F$ F — фокусное расстояние). Из (13) следует также, что размер области Ω_A , в которой задается (измеряется) ближнее поле, не должен превышать

размеры антенны, если мы хотим восстановить диаграмму направленности в широком секторе углов (θ_B приближается к 180°). Так, например, если $\theta_B = 175^\circ$ и $\xi + \frac{D}{2} = 0,1\lambda$, размер области сканирования D' (при $\gamma = 0$) превышает размеры антенны уже в 2,3 раза, так что, по-видимому, не следует стремиться восстановить боковое излучение в секторе, прилегающем непосредственно к границе переднего и заднего полупространства.

С целью иллюстрации полученных результатов и для выяснения практической применимости формулы (18) для оценки размера области сканирования на ЭЦВМ был проведен расчет диаграммы $f^B(\xi)$ путем вычисления преобразования Фурье в конечных пределах распределения ближнего поля. В одномерном случае (принципиально не отличающемся от двумерного) вычислялась U -компоненты диаграммы направленности антенны, представляющей собой плоскую ленту тока, ориентированного вдоль оси X . ("Истинная" диаграмма направленности такой антенны, как известно, есть $f(\xi) = \sin(\pi \frac{D}{\lambda} \xi) / \pi \frac{D}{\lambda} \xi$, $\xi = \sin \theta$; D — ширина ленты тока).

Результаты расчета представлены на рис. 1а, б для $D/\lambda = 128$, $\xi/\lambda = 10, 100$ и для различных D'/λ . По оси ординат графика отложена ошибка восстановления $\epsilon(\xi) = \frac{|f(\xi)|^2 - |f^B(\xi)|^2}{|f(\xi)|^2} \cdot 100\%$ в точках $\xi_n = \frac{\lambda}{D'}(n + \frac{1}{2})$ ($n = 0, 1, \dots, 127$), соответствующих примерно максимумам.

+1) Физически это легко объяснить следующим образом. Рассмотрим находящийся на расстоянии $\frac{D}{2}$ от плоскости сканирования точечный источник (диполь Герца), излучающий набор плоских волн (лучей) по всем направлениям. Значение диаграммы $f(\theta)$ определяется соответственно плоской волной (лучем), падающим под углом θ к нормали к плоскости. "Центр" этой плоской волны (или соответствующий ей луч) будет пересекать плоскость сканирования на расстоянии $\frac{D}{2} \tan \theta$ от проекции источника на плоскость. Чтобы зафиксировать информацию об этой плоской волне, мы должны измерить ближнее поле в окрестности точки пересечения луча с плоскостью. Чем больше угол падения, тем дальше мы должны двигаться от центра поля по плоскости сканирования т.е., тем больше должны быть размеры области, в которой можно поместить ближнее поле.

боковых лепестков диаграммы. На оси абсцисс отрезками жирных линий и вертикальными штриховыми линиями отмечены значения $\xi_B = S \sin(\theta_B/2)$, вычисленные по формуле (13) при $\gamma = 0$ (правый край отрезка) и $\gamma = 0,5$ (левый край). Как видно из рис., формула (13) достаточно точно указывает границы углового сектора, вне которого ошибки в восстановленной диаграмме начинают резко возрастать.

Ш. Оценка влияния дискретной регистрации ближнего поля на точность определения диаграммы направленности

Как правило, на практике пространственное распределение ближнего поля измеряют в дискретной последовательности точек, отстоящих друг от друга на одинаковом расстоянии h . Заменим при вычислении Фурье-спектра ближнего поля интегрирование суммированием с шагом h , получая при этом функцию $S^B(\xi)$ +

$$S^B(\xi) = h \sum_{n=0}^{N-1} E^{(S)}(x_n) e^{ik\xi x_n} \quad (14)$$

$$h = \frac{D}{N}, \quad x_n = -\frac{D}{2} + h(n + \frac{1}{2}).$$

Обычный прием оценки различия между спектром $S^B(\xi)$, полученным в результате дискретного преобразования Фурье (14), и спектром $S^B(\xi)$, полученным по непрерывным значениям ближнего поля, состоит в представлении $S^B(\xi)$ в виде суммы "сдвинутых" спектров $S^B(\xi)$

$$S^B(\xi) = \sum_{n=-\infty}^{\infty} S^B(\xi - n\xi_n), \quad (15)$$

где $\xi_n = \frac{\lambda}{h}$.

$$S^B(\xi) = \int_{-D/2}^{D/2} E^{(S)}(x) e^{ik\xi x} dx.$$

+) Чтобы избежать громоздких выражений при анализе влияния дискретности, мы рассмотрим одномерный случай.

В работе [4] приведена следующая оценка величины шага h . Поскольку спектр $S^B(\xi)$ при $\lambda \rightarrow \infty$ содержит множитель $\exp(i k \xi \sqrt{1 - \xi^2})$ (см. (6)), экспоненциально убывающий вне области видимых углов $|\xi| > 1$ при $k \xi > 1$, слагаемые в сумме (15) при шаге $h < \lambda/2$ практически не будут перекрываться и ошибка, вносимая дискретностью, будет несущественна⁴⁾.

Такая оценка представляется не вполне корректной, поскольку спектр $S^B(\xi)$ находится путем интегрирования в конечных пределах, а, следовательно, не может убывать экспоненциально при $\xi \rightarrow \infty$.

Поскольку при определении диаграммы направленности по распределению ближнего поля внутри области Ω_2 уже допускается ошибка из-за ограниченности размеров области сканирования, можно сопоставить величину ошибки, обусловленной дискретностью регистрации ближнего поля, с величиной ошибки, обусловленной конечными размерами области сканирования. Таким образом, при выборе величины шага h можно руководствоваться следующим критерием: ошибка, вносимая из-за дискретности регистрации ближнего поля

$$\Delta S_g(\xi) = S^B(\xi) - S^g(\xi)$$

должна быть такого же порядка, что и ошибка $\Delta S_B(\xi)$, обусловленная конечными размерами области сканирования ближнего поля

$$\Delta S_B(\xi) = S(\xi) - S^B(\xi),$$

т.е.

$$\Delta S_g(\xi) \approx \Delta S_B(\xi). \quad (16)$$

Ошибка $\Delta S_B(\xi)$ представим в виде:

$$\Delta S_B(\xi) = \int_{-\infty}^{-\lambda/2} E^{(S)}(x) e^{ik\xi x} dx + \int_{\lambda/2}^{\infty} E^{(S)}(x) e^{ik\xi x} dx. \quad (17)$$

⁴⁾ Практически в [4] предлагается использовать шаг $h \approx \frac{\lambda}{3}$.

Производя в (17) дважды интегрирование по частям, мы получим:

$$\Delta S_B(\xi) = \frac{i}{k\xi} \left\{ \psi(\xi) + \frac{i}{k\xi} \Psi(\xi) \right\} + O\left(\frac{1}{k^3}\right), \quad (18)$$

где $\psi(\xi) = E^{(S)}\left(\frac{\Im''}{2}\right) e^{ik\xi \frac{\Im''}{2}} - E^{(S)}\left(-\frac{\Im''}{2}\right) e^{-ik\xi \frac{\Im''}{2}},$

$$\Psi(\xi) = E^{(S)'}\left(\frac{\Im''}{2}\right) e^{ik\xi \frac{\Im''}{2}} - E^{(S)'}\left(-\frac{\Im''}{2}\right) e^{-ik\xi \frac{\Im''}{2}}.$$

Для нахождения ошибки, обусловленной дискретностью, воспользуемся Эйлеровыми методами разложения остатка квадратурных формул [9].

$$\Delta S_g(\xi) = ik\xi \frac{h^2}{24} \left\{ \psi(\xi) - \frac{i}{k\xi} \Psi(\xi) \right\} + O(h^6). \quad (19)$$

Поскольку второе слагаемое в фигурных скобках в (18) и (19) имеет порядок малости k^{-1} по сравнению с первым, его можно опустить, полагая

$$\Delta S_g(\xi) \approx ik\xi \frac{h^2}{24} \psi(\xi),$$

$$\Delta S_B(\xi) \approx \frac{i}{k\xi} \psi(\xi).$$

Сравнивая между собой величины ошибок $\Delta S_g(\xi)$ и $\Delta S_B(\xi)$, с учетом введенного нами критерия (18) получим следующую оценку величины шага

$$h \approx \frac{\lambda}{\sin\left(\frac{\theta_0}{2}\right)} \frac{1}{2\pi} \sqrt{\frac{24}{M}}, \quad (20)$$

где θ_0 — размер углового сектора, внутри которого будет выполняться условие (18), M — число, показывающее, во сколько раз ошибка вызванная дискретностью, будет меньше ошибки, обусловленной конечными размерами области сканирования.

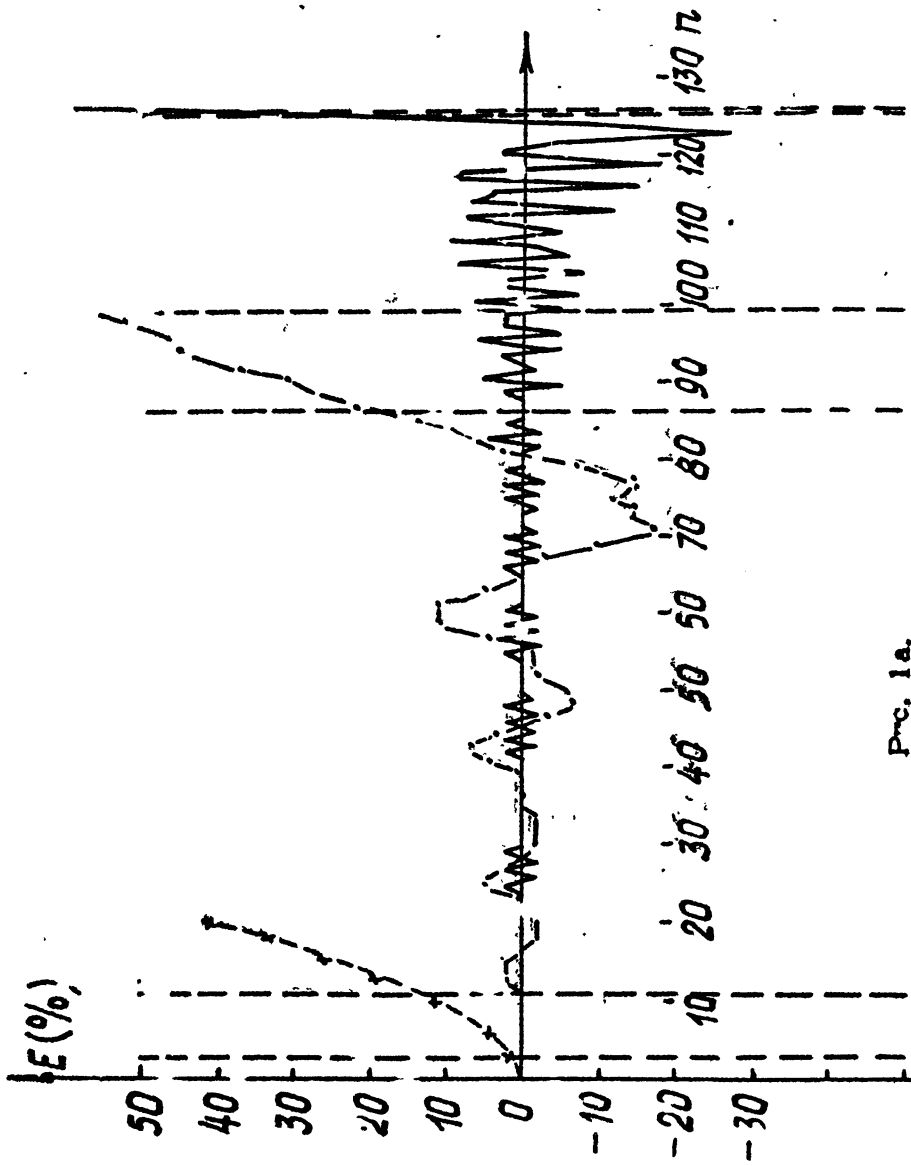
В заключение автор выражает благодарность Н.М.Цейтлину за постоянное внимание к данной работе и В.А.Текийкину и Ю.А.Рыжкову за обсуждение результатов настоящей работы.

Л И Т Е Р А Т У Р А

1. R.C.Johnson, H.A.Ecker, J.S.Hollis,
Proc.IEEE, 61, I2, I668 (I973).
2. R.C.Bairs, Electron.Lett., 6, II, 349
(I970).
3. А.А.Арутюнян и др. , Изв. АН Арм. ССР, Физика, 7, 5,
373 (1972).
4. E.B.Joy; D.T.Paris, IEEE Trans.Ant.and
Prop., AP-20, 3, 253 (I972).
5. Х.Хенл, А.Мауэ, К.Вестифоль, Теория дифракции, Изд.
"М"р", М., 1984.
6. Сканирующие антенные системы СВЧ под редакцией
Г.Т.Маркова и А.Ф.Чаплина, т.1, Изд.-во "Советское ра-
дио", М., 1966.
7. А.Г.Прудковский, ЖВММФ, 13, 2 (1973).
8. А.Эрдейи, Асимптотические разложения, Гос.изд-во фи-
зико-математической лит., М., 1982.
9. В.И.Крылов. Приближенное вычисление интегралов. Гос.
изд-во физико-математической лит., М., 1959.

ПОДПИСИ К РИСУНКУ

Рис. 1а,б. На рис. 1 показаны ошибки восстановления диаграммы направленности антены, представляющей собой плоскую ленту с током шириной $D_1 = 128\lambda$, в случае, когда диаграмма направленности вычисляется по значениям ближнего поля на расстоянии $\xi = 10\lambda$ (рис. 1а) от антенны в области шириной $D'' = 130\lambda$ ($\times - \times - \times$), $D'' = 150\lambda$ ($\cdot - \cdot - \cdot - \cdot$) и $D'' = 225\lambda$ ($- - - - -$) и $\xi = 100\lambda$ (рис. 1б) для $D'' = 150\lambda$ ($- - - - -$) и $D'' = 225\lambda$ ($- - - - -$). На графиках рис. 1а,б приведена зависимость относительной ошибки восстановления (в процентах) в точках $\xi_n = \frac{\lambda}{D''} \left(n + \frac{1}{2} \right)$ ($n = 0, 1, \dots, 127$), соответствующих примерно максимумам боковых лепестков диаграммы. На этих графиках для каждого значения D'' двумя вертикальными штриховыми линиями отмечены значения $\Pi^{(1)}$ и $\Pi^{(2)} = \frac{D''}{\lambda} \sin(\theta_g^{(1,2)}/2) \cdot \frac{1}{2}$; $\theta_g^{(1,2)}$ вычислен по формуле (11) соответственно для $\gamma = 0,5$ и $\gamma = 0$. Как видно из рис. 1а,б, для каждого D'' штриховые линии достаточно точно делят область изменения ξ на участок со сравнительно небольшими ошибками восстановления (около 10%) и область, где диаграмма направленности восстанавливается неверно (ошибка превышает 30–40%).



Proc. 1a.

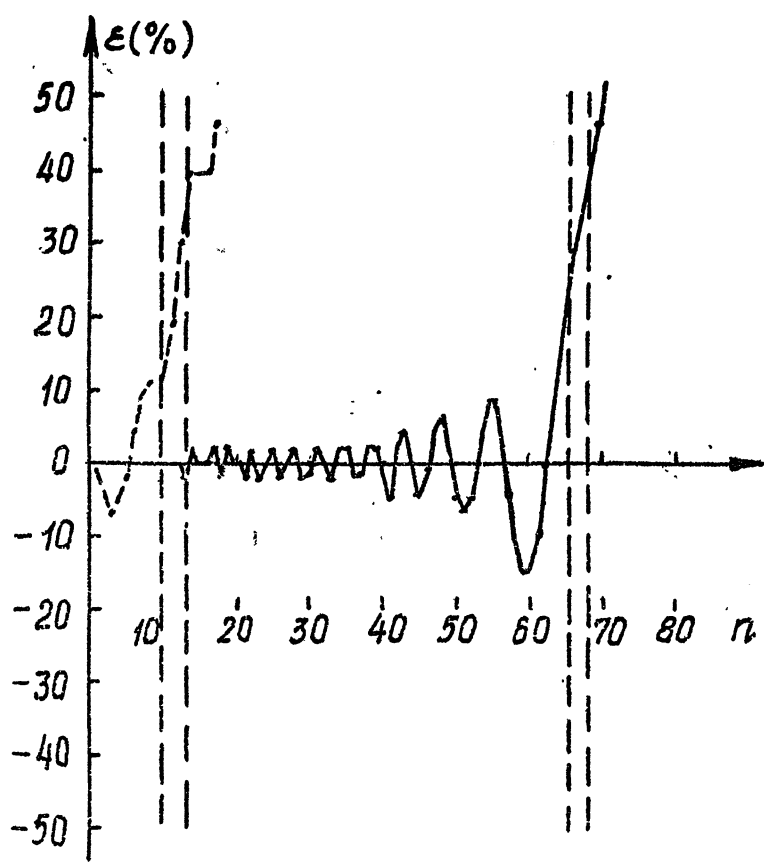


Рис. 16.